УЛК 547.022

СИНТЕЗ И СТРОЕНИЕ КОМПЛЕКСОВ Cd(II) С РЕДОКС-АКТИВНЫМИ ИНДОФЕНОЛЬНЫМИ ЛИГАНДАМИ

© 2024 г. Е. П. Ивахненко^{1, *}, Ю. Г. Витковская¹, Н. И. Мережко¹, П. А. Князев¹, Г. С. Бородкин¹, К. А. Лысенко², В. И. Минкин¹

¹НИИ физической и органической химии Южного федерального университета, Ростов-на-Дону, Россия ²Московский государственный университет им. М. В. Ломоносова, Москва, Россия

*e-mail: ivakhnenko@sfedu.ru

Поступила в редакцию 22.06.2023 г. После доработки 08.08.2023 г. Принята к публикации 12.09.2023 г.

Осуществлен синтез аддуктов I, II и III комплексов Cd(II) с редокс-амфотерными 2,6-ди-(*мрет*-бутил)-4-((2-гидроксифенил)имино)циклогекса-2,5-диеноновыми лигандами L^1 и L^2 . Строение координированных комплексов I, II и III установлено с помощью PCA (CCDC № 1838319 (II), 1838310 (III) и подтверждено данными ЯМР 1 H, 13 C, 13 Cd (для комплексов I и III) и ИК-спектроскопии.

Ключевые слова: редокс-активные лиганды, индофенолы, комплексы кадмия(II), тетраядерные комплексы кадмия(II), рентгеноструктурный анализ

DOI: 10.31857/S0132344X24040017 EDN: NQECRK

Возрастающий интерес к изучению строения и свойств координационных соединений кадмия, отнесенных Всемирной организацией здравоохранения, наряду с соединениями свинца и ртути, к числу трех наиболее токсичных типов веществ [1], в значительной степени обусловливается тем, что в последние годы удалось обнаружить комплексы Cd(II) с органическими лигандами, проявившие высокую антимикробную резистентность [2, 3] и повышенную активность против пораженных раком стволовых клеток [4]. Лиганды, образующие комплексы этого типа, преимущественно представлены полидентатными хелатирующими структурами на основе гидрокси- и тиопроизводных оснований Шиффа и гидразонов [3–9]. При этом представляется интересным использование лигандов с рассредоточенными редокс-активными центрами, способными не только координироваться с атомом металла, но и участвовать в окислительно-восстановительных процессах в связанном виде. В настоящей работе нами осуществлен синтез и изучено кристаллическое и молекулярное строение новых гексакоординированных комплексов Cd(II) с редокс-амфотерными 2,6-ди-(*тем*-бутил)-4-((2-гидроксифенил) имино)циклогекса-2,5-диеноновыми дами (L^1 и L^2), содержащими два активных редокс-центра, фенольный и n-хиноноиминовый [10, 11] (схема 1).

Схема 1.

ЭКСПЕРИМЕНТАЛЬНАЯ ЧАСТЬ

Все реагенты и растворители были приобретены у коммерческих поставщиков (Aldrich) и использовались без дополнительной очистки. Использованные в синтезе o-индофенолы L^1 и L^2 получены по методике [11]. Соединения охарактеризованы методами спектроскопии ЯМР 1 H, 13 C и 113 Cd. Спектры ЯМР были зарегистрированы на спектрометрах Varian UNITY-300 (300 МГц для 1 H) и Bruker AVANCE-600 (600 МГц для 1 H, 151 МГц для

¹³С и 133 МГц для ¹¹³Сd) ЦКП ЮФУ "Молекулярная спектроскопия" в растворах CDCl₃, DMSOd₆ и асеtone-d₆, сигналы отнесены к сигналам остаточных протонов дейтерированных растворителей (7.24, 2.49 и 2.05 м.д. соответственно для ¹Н и 77.0 м.д., 39.5, 206.3 и 29.8 м.д. для ¹³С), ЯМР ¹¹³Сd химические сдвиги приведены относительно эталонного соединения Me_2Cd ($\delta = 0$ м.д.). ИК-спектры поликристаллических образцов исследованных соединений снимали на спектрометрах Varian Excalibur 3100 FRT-IR и Bruker Vertex 70. Элементный анализ на С, H, N выполняли на приборе Carlo Erba Instruments TCM 480.

Синтез бис (2,6-ди-(трет-бутил)-4-((2-фено-лято)имино)циклогекса-2,5-диенон)кадмия (I). Раствор 0.133 г (0.5 ммоль) дигидрата ацетата Сd(II) в 10 мл метанола добавляли к раствору 0.423 г (1.0 ммоль) o-индофенола L^1 . Реакционную смесь нагревали 30 мин, после охлаждения оставляли при комнатной температуре на 24 ч. Осадок отфильтровывали и сушили. Получили темно-зеленый кристаллический порошок. Выход -68%. $T_{nn} = 224$ °C.

ИК-спектр (v, см⁻¹): 2953 (СН₃), 2906 (СН₃), 2866 (СН₃), 1631 (С=О), 1613 (С=N_{пикл}), 1477 (С=С_{ар}), 1455 (С=С_{ар}). Спектр ЯМР ¹Н (асеtone-d₆; δ , м.д.; $^3J_{\rm H-H}$, Γ и): 1.05 (с., 18H, 2(СН₃)₃), 1.21 (с., 18H, 2(СН₃)₃), 1.29 (с., 18H, 2(СН₃)₃), 1.45 (с., 18H, 2(СН₃)₃), 6.78 (с., 2H, H_{ар}), 7.24—7.41 (м., 6H, H_{ар}). Спектр ЯМР ¹³С (асеtone-d₆, δ , м.д.): 31.31, 34.21, 35.31, 35.73, 54.07, 68.59, 68.72, 119.28, 124.47, 127.04, 128.50, 130.29, 134.15, 135.26, 136.49, 140.46, 150.66, 151.09, 152.24, 153.58, 165.80, 186.92, 197.48, 209.31, 209.34. Спектр ЯМР ¹¹³Сd (acetone-d₆, δ , м.д.): -637.98.

Найдено, %: С 70.17; H 8.49; N 2.98. Для $C_{56}H_{80}N_2O_4Cd$ вычислено, %: С 70.23; H 8.42; N 2.93.

Синтез бис (2,6-ди-(трет-бутил)-4-((2-фенолято)имино)циклогекса-2,5-диенон) (2,2'-дипиридил) кадмия (II). Раствор 0.133 г (0.5 ммоль) дигидрата ацетата Cd(II) в 10 мл метанола добавляли к раствору 0.423 г (1.0 ммоль) o-индофенола L^1 и 0.078 г (0.5 ммоль) 2,2'-дипиридила в 30 мл метанола. Реакционную смесь нагревали 30 мин, после охлаждения оставляли при комнатной температуре на 24 ч. Осадок отфильтровывали и сушили. Получили темно-зеленый кристаллический порошок. Выход — 64%. $T_{nn} = 210$ °C.

ИК-спектр (v, см $^{-1}$): 2951 (CH $_3$), 2907 (CH $_3$), 2865 (CH $_3$), 1653 (C=O), 1607 (C=N $_{_{\tiny LIJKJ}}$), 1479 (C=C $_{_{\tiny ap}}$), 1454 (C=C $_{_{\tiny ap}}$).

Найдено, %: С 71.14; Н 7.94; N 5.04. Для $C_{66}H_{88}N_4O_4Cd$ вычислено, %: С 71.17; Н 7.96; N 5.03.

Синтез гекса (2,6-ди-(*трет*-бутил)-4-((2-фенолято)имино)циклогекса-2,5-диенон) бис (ацетато) тетракадмий (III). Раствор 0.133 г (0.5 ммоль) дигидрата ацетата Cd(II) в 10 мл метанола добавляли к раствору 0.423 г (1.0 ммоль) o-индофенола L^2 в 30 мл метанола. Реакционную смесь нагревали 30 мин, после охлаждения оставляли при комнатной температуре на 24 ч. Осадок отфильтровывали и сушили. Получили фиолетовый кристаллический порошок. Выход — 85%. $T_{\text{пл}} = 300$ °C.

ИК-спектр (v, см⁻¹): 2999 (СН₂), 2959 (СН₃), 2869 (СН₃), 1686 (С=О), 1624 (Č=N_{ШИКЛ}), 1587 (С=N_{ШИКЛ}), 1482 (С=С_{ар}), 1455 (С=С_{ар}). Спектр ЯМР ¹H (DMSO-d₆; δ , м.д.; ³J_{H-H}, Γ Ц): 0.84 $(c., 36H, 4(CH_3)_3), 1.01 (c., 36H, 4(CH_3)_3), 1.03 (c., 36H, 4(CH_3)_3)$ 18H, $2(CH_3)_3$, 1.40 (c., 18H, $2(CH_3)_3$), 2.14 (c., 6H, $2CH_3$), 5.71 (д., 2H, H_{ap} , $^3J = 8.2$), 5.76 (т., 2H, H_{ap} , $^{3}J = 8.2$), 6.15 (T., 2H, $^{4}H_{ap}$), $^{3}J = 8.2$), 6.20 ($^{2}H_{ap}$), 6.37 ($^{2}H_{ap}$), 6.37 ($^{2}H_{ap}$), 6.37 ($^{2}H_{ap}$), 6.49 (T., 4H, H_{ap} , ${}^{3}J = 7.9$), 6.70 (д., 2H, H_{ap} , ${}^{3}J = 2.3$), 6.92 $(\text{д.}, 4\text{H}, \text{H}_{ap}, {}^{3}J = 2.5), 7.02 (\text{д.}, 4\text{H}, \text{H}_{ap}, {}^{3}J = 2.5), 7.28$ $(T., 4H, H_{ap}, {}^{3}J = 7.9), 7.66 (д., 4H, H_{ap}, {}^{3}J = 7.9), 7.84 (д., 2H, H_{ap}, {}^{3}J = 2.3).$ Спектр ЯМР 13 С (DMSO-d₆; б, м.д.): 29.13, 29.46, 29.55, 29.85, 35.52, 35.58, 35.87, 116.51, 116.70, 121.69, 122.02, 123.69, 124.73, 125.48, 125.69, 130.80, 131.88, 132.39, 132.96, 135.43, 135.99, 152.09, 153.41, 153.82, 153.94, 157.29, 159.24, 161.79, 180.64, 186.42, 188.12. Спектр ЯМР ¹¹³Cd (DMSO-d₆, δ, м. д.): –622.53, -691.22.

Найдено, %: С 61.26; Н 6.23; N 3.47. Для $C_{124}H_{150}N_6O_{16}Cd_4$ вычислено, %: С 61.28; Н 6.22; N 3.46.

РСА проведен на дифрактометре Bruker APEX II Duo (MoK_{α} -излучение, графитовый монохроматор, ω -сканирование). Атомы водорода локализованы из разностных Фурье-синтезов электронной плотности и уточнены в изотропном приближении по модели "наездника". Расшифровка и уточнение структур проведены по комплексу программ SHELXTL PLUS [12]. Основные кристаллографические данные и параметры уточнения для II, III приведены в табл. 1, длины связей и валентные углы — в табл. 2.

Таблица 1. Основные кристаллографические данные и параметры уточнения для структур II и III

| | Значение | | |
|--|-------------------------|--|--|
| Параметр | II | III | |
| Брутто-формула | $C_{69}H_{100}CdN_4O_7$ | C ₁₂₄ H ₁₅₀ Cd ₄ N ₆ O ₁₆ | |
| M | 1209.92 | 2436.22 | |
| <i>T</i> , K | 120(2) | 120(2) | |
| Сингония | Моноклинная | Триклинная | |
| Пространственная группа | $P2_{1}/c$ | $P\bar{1}$ | |
| Z | 4 | 1 | |
| a, Å | 10.849(2) | 12.950(5) | |
| b, Å | 27.151(5) | 13.724(5) | |
| c, Å | 23.083(5) | 17.225(6) | |
| α, град | 90 | 86.269(6) | |
| 3, град | 91.74(3) | 82.727(6) | |
| ү, град | 90 | 80.170(5) | |
| V, Å ³ | 6796(2) | 2989.1(19) | |
| ρ (выч.), г/см ³ | 1.183 | 1.353 | |
| u, см ⁻¹ | 0.373 | 0.766 | |
| F(000) | 2584 | 1259 | |
| $2\theta_{	ext{max}}$, град | 50 | 50 | |
| число измеренных отражений | 86077 | 23865 | |
| Число независимых отражений | 26958 | 13506 | |
| Число отражений с $I > 2\theta(I)$ | 19512 | 7541 | |
| Число уточняемых параметров | 785 | 699 | |
| $R_{1}, wR_{2} (I > 2\theta(I))$ | 0.0427, 0.0991 | 0.0543, 0.0999 | |
| R_1 , wR_2 (все данные) | 0.0696, 0.1118 | 0.1198, 0.1238 | |
| GOOF | 1.014 | 0.904 | |
| $\Delta ho_{ m max}/ ho_{ m min}$, e Å $^{-3}$ | 0.008 / 0.000 | 0.001 / 0.000 | |

Таблица 2. Основные длины связей (Å) и валентные углы (град) комплексов II и III

| Связь | d, Å | Связь | d, Å | | |
|----------------|------------|--------------|------------|--|--|
| II | | | | | |
| Cd(1)-O(1A) | 2.2548(12) | O(1A)-C(2A) | 1.3157(18) | | |
| Cd(1)–(O1) | 2.2734(11) | O(2)-C(10) | 1.2494(19) | | |
| Cd(1)-N(1) | 2.3550(14) | O(2A)-C(10A) | 1.2499(19) | | |
| Cd(1)-N(1A) | 2.3610(13) | N(1)–C(1) | 1.4036(19) | | |
| Cd(1)-N(1B) | 2.3650(14) | N(1)–C(7) | 1.3188(19) | | |
| Cd(1)-N(2B) | 2.3757(15) | N(1A)-C(1A) | 1.3970(19) | | |
| O(1)–C(2) | 1.3158(18) | N(1A)-C(7A) | 1.3182(19) | | |
| III | | | | | |
| Cd(1)-O(1) | 2.231(4) | O(1)-C(2) | 1.336(6) | | |
| Cd(1)-O(1B) | 2.253(3) | O(1A)-C(1A) | 1.347(7) | | |
| Cd(1)-N(1B) | 2.331(4) | O(1B)-C(1B) | 1.342(6) | | |
| Cd(1)-O(1A) | 2.341(4) | O(2)-C(10) | 1.220(7) | | |
| Cd(1) $-O(1A)$ | 2.363(3) | O(2A)-C(10A) | 1.227(6) | | |
| Cd(1)-N(1) | 2.391(4) | O(2B)-C(10B) | 1.218(6) | | |
| Cd(2)-O(1) | 2.247(4) | N(1)–C(1) | 1.408(7) | | |
| Cd(2)-O(1B) | 2.275(4) | N(1)-C(7) | 1.309(6) | | |
| Cd(2)-O(1S) | 2.285(4) | N(1A)-C(2A) | 1.406(7) | | |
| Cd(2)-N(1A) | 2.337(5) | N(1A)-C(7A) | 1.307(7) | | |

Таблица 2. Окончание

| Cd(2)-O(2S) | 2.348(4) | N(1B)-C(2B) | 1.419(6) |
|-----------------|------------|-----------------|------------|
| Cd(2)-O(1A) | 2.372(4) | N(1B)-C(7B) | 1.302(6) |
| Угол | ω, град | Угол | ω, град |
| | II | | |
| O(1A)Cd(1)O(1) | 176.69(4) | N(1)Cd(1)N(1B) | 98.21(5) |
| O(1A)Cd(1)N(1) | 105.77(5) | N(1A)Cd(1)N(1B) | 162.62(5) |
| O(1)Cd(1)N(1) | 71.15(4) | O(1A)Cd(1)N(2B) | 87.33(5) |
| O(1A)Cd(1)N(1A) | 71.71(4) | O(1)Cd(1)N(2B) | 95.91(5) |
| O(1)Cd(1)N(1A) | 107.14(4) | N(1)Cd(1)N(2B) | 163.84(5) |
| N(1)Cd(1)N(1A) | 96.03(5) | N(1A)Cd(1)N(2B) | 97.09(5) |
| O(1A)Cd(1)N(1B) | 94.76(5) | N(1B)Cd(1)N(2B) | 70.79(5) |
| O(1)Cd(1)N(1B) | 86.95(5) | _ | _ |
| | III | | |
| O(1)Cd(1)O(1B) | 173.67(14) | O(1)Cd(2)O(1B) | 103.83(13) |
| O(1)Cd(1)N(1B) | 112.79(14) | O(1)Cd(2)O(1S) | 103.84(14) |
| O(1B)Cd(1)N(1B) | 72.83(14) | O(1B)Cd(2)O(1S) | 102.49(15) |
| O(1)Cd(1)O(1A) | 93.01(13) | O(1)Cd(2)N(1A) | 143.01(15) |
| O(1B)Cd(1)O(1A) | 81.67(13) | O(1B)Cd(2)N(1A) | 85.78(15) |
| N(1B)Cd(1)O(1A) | 153.81(13) | O(1S)Cd(2)N(1A) | 108.82(15) |
| O(1)Cd(1)O(1A) | 76.01(12) | O(1)Cd(2)O(2S) | 93.22(15) |
| O(1B)Cd(1)O(1A) | 106.15(13) | O(1B)Cd(2)O(2S) | 156.51(15) |
| N(1B)Cd(1)O(1A) | 102.11(14) | O(1S)Cd(2)O(2S) | 57.07(17) |
| O(1A)Cd(1)O(1A) | 79.02(14) | N(1A)Cd(2)O(2S) | 90.25(16) |
| O(1)Cd(1)N(1) | 72.11(14) | O(1)Cd(2)O(1A) | 75.52(12) |
| O(1B)Cd(1)N(1) | 104.78(14) | O(1B)Cd(2)O(1A) | 80.57(12) |
| N(1B)Cd(1)N(1) | 97.15(15) | O(1S)Cd(2)O(1A) | 176.93(15) |
| O(1A)Cd(1)N(1) | 95.00(14) | N(1A)Cd(2)O(1A) | 70.93(14) |
| O(1A)Cd(1)N(1) | 147.20(14) | O(2S)Cd(2)O(1A) | 119.89(16) |

Полные данные РСА для II, III доступны в Кембриджском банке структурных данных (ССDС № 1838319 и 1838310; deposit@ccdc. cam.ac.uk или http://www.ccdc.cam.ac.uk/data_request/cif).

РЕЗУЛЬТАТЫ И ИХ ОБСУЖДЕНИЕ

Реакция лиганда L¹, в котором o-гидроксильный центр пространственно-экранирован двумя объемными mpem-бутильными группами с ацетатом кадмия, ведет к образованию тетраэдрического комплекса I (схема 2). Строение комплекса I установлено методами спектроскопии ЯМР ¹H, ¹³С и ¹¹¹3Cd (ЯМР ¹¹¹3Cd, acetone-d₆, δ = -637.98 м.д.) и данными ИК-спектроскопии.

Реакция лиганда L¹ с ацетатом кадмия в присутствии эквимольного количества NN-хелатирующего 2,2'-дипиридила ведет к образованию октаэдрического комплекса II (схема 3) с выходом 64%. Строение комплекса II установлено ме-

тодами рентгеноструктурного анализа (рис. 1) и данными ИК-спектроскопии.

Исследование комплекса II методом РСА показало, что за счет присутствия 2,2'-дипиридила координационный узел существует в виде искаженного октаэдра, в котором атом кадмия координирован с двумя атомами кислорода (длины связей равны 2.2548(12) и 2.2734(11) Å) и четырьмя атомами азота (длины связей 2.3550(14)— 2.3757(15) Å). Валентные углы C(1)N(1)C(7) в лигандах равны 123.76° и 124.30° соответственно. Длины связей C—O(1) и C—O(1A) координационного узла (1.3157(18)—1.3158(18) Å) соответствуют катехолатной редокс-форме лиганда [13].

В отличие от пространственно-экранированного лиганда L^1 его аналог с неэкранированной гидроксильной группой L^2 в реакции с ацетатом кадмия(II) (схема 4) образует тетраядерный комплекс с необычной молекулярной структурой III. В спектре ЯМР 113 Cd III фиксируются сигналы

$$\begin{array}{c} Cd(CH_3COO)_2\\ \hline CH_3OH,\ reflux,\ 0.5\ h\\ \hline L^1 \end{array}$$

Схема 2.

$$t-Bu$$
 $t-Bu$
 $t-Bu$

Схема 3.

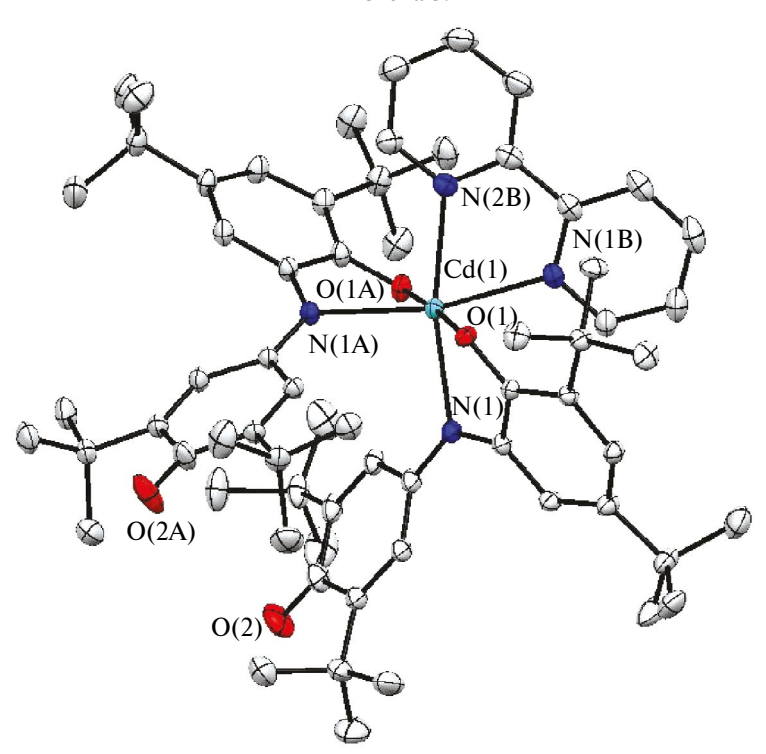


Рис. 1. Молекулярная структура комплекса II (атомы водорода не показаны, остальные атомы представлены термическими эллипсоидами с 50%-ной вероятностью).

атомов кадмия двух разных структурных типов (рис. 2).

Как следует из данных рентгеноструктурного определения молекулярного строения комплекса III (рис. 3), шесть молекул лиганда L² коорди-

нированы четырьмя атомами кадмия двух типов и дополнительно двумя ацетатными фрагментами. Все четыре атома кадмия находятся в центре искаженных октаэдров. Атомы Cd(1) координируются двумя азотами (2.331 и 2.391 Å) и четырьмя кислородами четырех лигандов (2.230—

-620 -625 -630 -635 -640 -645 -650 -655 -660 -665 -670 -675 -680 -685 -690 б, м.д.

Рис. 2. Спектр ЯМР ¹¹³Сd комплекса III (CDCl₃, 303 K).

 $2.362 \, \text{Å}$), тогда как атомы Cd(2) координируются одним атомом азота ($2.337 \, \text{Å}$) и пятью атомами кислорода ($2.247-2.372 \, \text{Å}$) трех лигандов и одного ацетатного фрагмента. Необходимо отметить, что атомы O(1) и O(1B) одновременно координируют атом Cd(1) и атом Cd(2), тогда как атомы O(1A) одновременно координируют два

атома Cd(1) и один атом Cd(2). Валентные углы в лигандах C(2)N(1)C(7) равны 121.42° , 121.28° и 124.09° соответственно. Плоскости фенольного и циклогексадиенонового циклов лигандов развернуты друг относительно друга на 44.30° , 35.93° и 40.76° соответственно. Длины связей C—О координационного узла (1.336(6)-1.347(7)

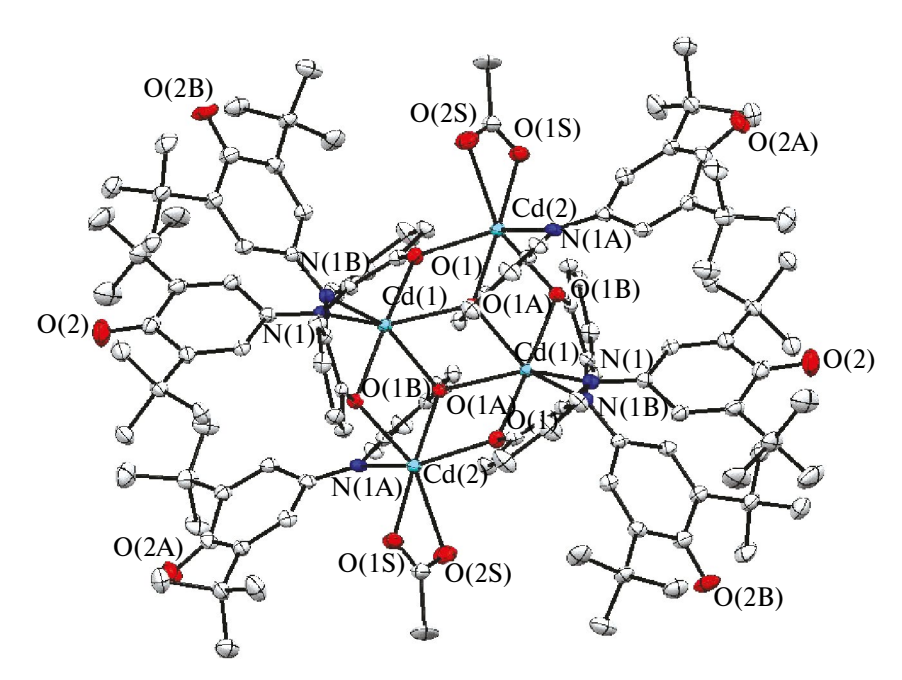


Рис. 3. Молекулярное строение комплекса III (атомы водорода не показаны, остальные атомы представлены термическими эллипсоидами с 50%-ной вероятностью).

Å) соответствуют катехолатной редокс-форме лиганда [13].

Ранее были описаны карбоксилатные комплексы кадмия(II), которые образуют кубические полиядерные структуры с четырьмя атомами кадмия и мостиковыми атомами кислорода [14–16], однако в случае комплекса III, вероятно, за счет стерического влияния индофенольных лигандов с объемными *трет*-бутильными формирование кубической структуры затруднено. При этом "внешние" атомы Cd(2) остаются координированными ацетатными группами [17].

Таким образом, взаимодействие o-индофенольных лигандов L^1 и L^2 с ацетатом кадмия(II) ведет к образованию комплексов различного состава. На примере лиганда L^1 с пространственно-экранированными двумя объемными mpem-бутильными группами в индофенольном фрагменте показано образование комплекса с тетраэдрическим координационным узлом и возможность его докоординации NN-хелатирующими соединениями до комплекса с октаэдрическим координационным узлом. При этом отсутствие объемных mpem-бутильных групп в индофенольном фрагменте лиганда L^2 снимают стерические ограничения, что ведет к образованию полиядерных комплексов Cd(II).

Авторы заявляют, что у них нет конфликта интересов.

ФИНАНСИРОВАНИЕ

Работа выполнена при поддержке Министерства науки и высшего образования Российской Федерации (государственное задание в сфере научной деятельности, проект № FENW-2023-0017).

СПИСОК ЛИТЕРАТУРЫ

- 1. Ten Chemicals of Major Public Health Concern. World Health Organization Geneva (Switzerland), 2010. P. 1.
- 2. *Kokanov S.B.*, *Filipović N.R.*, *Višnjevac A. et al.* // Appl. Organometal. Chem. 2022. V. 37. № 1. P. 6942.
- 3. *Irfan R.M., Shaheen M.A., Saleem M. et al.* // Arabian J. Chem. V. 14. № 10. P. 103308.
- 4. *Todorović R., Cvijetić I., Rodić M.V. et al.* // J. Inorg. Biochem. V. 190. P. 45.
- 5. *Mousavi S.A., Montazerozohori M., Naghiha R. et al.* // Appl. Organometal. Chem. 2020. V. 34. № 4. P. e5550.
- 6. *Kishore D.*, *Kumar D.* // J. Coord. Chem. 2011. V. 64. № 12. P. 2130.
- 7. Гусев А.Н., Шульгин В.Ф., Кискин М.А. и др. // Коорд. химия. 2011. Т. 37. № 2. С. 119 (Gusev A.N., Shul'gin V.F., Kiskin M.A. et al. // Russ. J. Coord. Chem. 2011. V. 37. № 2. Р. 117).
 - https://doi.org/10.1134/S1070328411010052
- 8. Saghatforoush L.A., Aminkhani A., Ershad S. et al. // Molecules. 2008. V. 13. P. 804.
- 9. *Bjørklund G., Crisponi G., Nurchi V.M. et al.* // Molecules. 2019. V. 24. № 18. P. 3247.

- 10. Олехнович Л.П., Ивахненко Е.П., Любченко С.Н. и др. // Рос. хим. журн. 2004. Т. 48. № 1. С. 103.
- 11. *Ивахненко Е.П., Витковская Ю.Г., Лысенко К.А. и др.* // Журн. неорган. химии. 2023. Т. 68. № 9.
- Sheldrick G.M. // Acta Crystalllogr. A. 2008. V. 64.
 P. 112.
- 13. *Bhattacharya S., Gupta P., Basuli F. et al.* // Inorg. Chem. 2002. V. 41. P. 5810.
- 14. Noth H., Thomann M. // Chem. Ber. 1995. V. 128. P. 923.
- 15. *Кузнецова Г.Н., Ямбулатов Д.С., Кискин М.А. и др.* // Коорд. химия. 2020. Т. 46. № 8. С. 493 (*Kuznetsova G.N., Yambulatov D.S., Kiskin M.A. et al.* // Russ. J. Coord. Chem. 2020. V. 46. № 8. P. 553). https://doi.org/10.1134/S1070328420080047
- 16. *Tong M.-L.*, *Zheng S.-L.*, *Shi J.-X. et al.* // J. Chem. Soc., Dalton Trans. 2002. V. 8. P. 1727.
- 17. *Liles D.C., McPartlin M., Tasker P.A.* // J. Chem. Soc., Chem. Commun. 1976. V. 14. P. 549.

Cadmium(II) Complexes with Redox-Active Indophenol Ligands: Synthesis and Structures

E. P. Ivakhnenko^{1, *}, Yu. G. Vitkovskaya¹, N. I. Merezhko¹, P. A. Knyazev¹, G. S. Borodkin¹, K. A. Lysenko², and V. I. Minkin¹

¹Research Institute of Physical and Organic Chemistry, Southern Federal University, Rostov-on-Don, Russia ²Moscow State University, Moscow, Russia

*e-mail: ivakhnenko@sfedu.ru

The Cd(II) complexes with redox amphoteric 2,6-di-(*tret*-butyl)-4-((2-hydroxyphenyl) imino)cyclohexa-2,5-dienone ligands L1 and L2 (adducts I, II, and III) are synthesized. The structures of coordinated complexes I, II, and III are determined by X-ray diffraction (XRD) (CIF files CCDC nos. 1838319 (II) and 1838310 (III)) and confirmed by the 1H, 13C, and 113Cd NMR spectroscopy (for complexes I and III) and IR spectroscopy data.

Keywords: redox-active ligands, indophenols, cadmium(II) complexes, tetranuclear cadmium(II) complexes, XRD

REFERENCES

- 1. *Jungwirth, U., Kowol, C.R., Keppler, B.K., et al.*, Antioxid. Redox. Signaling, 2011, vol. 15, p. 1085.
- 2. *Brown, J.M. and Wilson, W.R.*, Nat. Rev. Cancer, 2004, vol. 4, p. 437.
- 3. Denny, W.A., Cancer Invest., 2004, vol. 22, p. 604.
- 4. *Graf, N. and Lippard, S.J.*, Adv. Drug. Deliv. Rev., 2012, vol. 64, p. 993.
- 5. *Ware, D.C., Siim, B.G., Robinson, K.G., et al.*, Inorg. Chem., 1991, vol. 30, p. 3750.
- 6. Craig, P.R., Brothers, P.J., Clark, G.R., et al., Dalton Trans., 2004, vol. 4, p. 611.
- 7. Failes, T.W., Cullinane, C., Diakos, C.I., et al., Chem.-Eur. J., 2007, vol. 13, p. 2974.
- 8. Karnthaler-Benbakka, M.S.C., Groza, M.S.D., Kryeziu, M.K., et al., Angew. Chem., Int. Ed. Engl., 2014, vol. 53, p. 12930.
- 9. Palmeira-Mello, M.V., Caballero, A.B., Ribeiro, J.M.,

- et al., J. Inorg. Biochem., 2020, vol. 211, p. 111211.
- 10. *Souza, I.S.A., Santana, S.S., Gomez, J.G., et al.*, Dalton Trans., 2020, vol. 49, p. 16425.
- 11. *Khakina*, *E.A.*, *Nikovskii*, *I.A.*, *Babakina*, *D.A.*, *et al.*, Russ. J. Coord. Chem., 2023, vol. 49, p. 24. https://doi.org/10.1134/S1070328422700105
- 12. *Cioncoloni, G., Senn, H.M., Sproules, S., et al.*, Dalton Trans., 2016, vol. 45, p. 15575.
- 13. Vlcek, A.A., Inorg. Chem., 1967, vol. 6, p. 1425.
- 14. *Ma*, *D.-L.*, *Wu*, *C.*, *Cheng*, *S.-S.*, *et al.*, Int. J. Mol. Sci., 2019, vol. 20, p. 341.
- 15. *Sheldrick*, *G.M.*, Acta Crystallogr., Sect. A: Found. Crystallogr., 2008, vol. 64, p. 112.
- 16. Dolomanov, O.V., Bourhis, L.J., Gildea, R.J., et al., J. Appl. Crystallogr., 2009, vol. 42, p. 339.
- 17. Stamatatos, T.C., Bell, A., Cooper, P., et al., Inorg. Chem. Commun., 2005, vol. 8, p. 533.
- 18. Alvarez, S., Chem. Rev., 2015, vol. 115, p. 13447.